

# 球状トカマクにおけるMHD事象の解析

## Analysis of MHD events in spherical tokamaks

東條寛、山口隆史

東京大学新領域創成科学研究科

H. Tojo, T. Yamaguchi,

M. Gryaznevich<sup>a</sup>, A. Ejiri, Y. Takase, Y. Adachi, T. Oosako, S. Kainaga,  
J. Sugiyama, M. Sasaki, T. Masuda

*Graduate School of Frontier Sciences, The University of Tokyo Kashiwa, Japan*

<sup>a</sup> *EURATOM/UKAEA Fusion Association, Culham Science Centre, OX14 3DB, UK*



# Contents

□球状トマカクMASTにおける磁気再結合を伴う不安定性  
(Internal reconnection events: IRE)

□ディスラプションを伴う IRE (Major IRE): モード解析

□圧力分布の時間発展

□球状トカマクTST-2における電子サイクロトロン波スタート  
アップ実験における放射強度分布解析

# What is an Internal Reconnection Event (IRE)?

- ❑ IRE is a very common instability observed in Spherical Tokamaks
- ❑ Three-dimensional resistive MHD simulations:

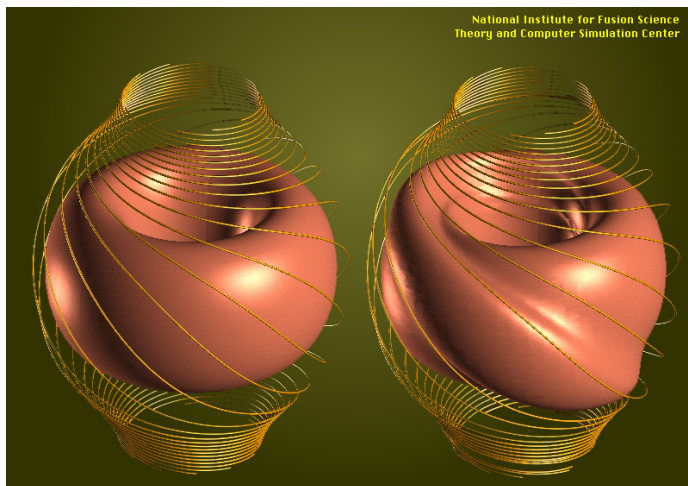
Naoki Mizuguchi, Takaya Hayashi, Phys. Plasmas, 7, 940 (2000)

## 1. Plasma deformation

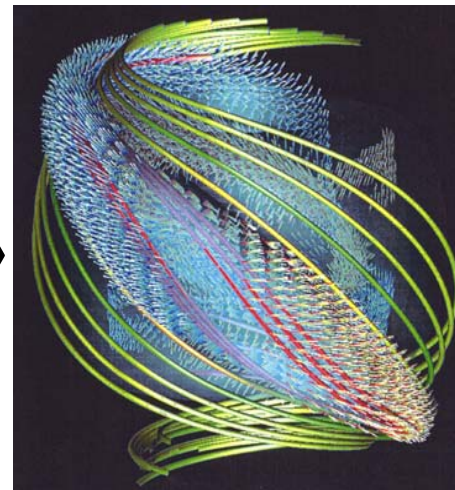
- IRE is a magnetic reconnection between inside and outside magnetic flux

2. During IRE plasma energy is lost along field lines through fast parallel transport

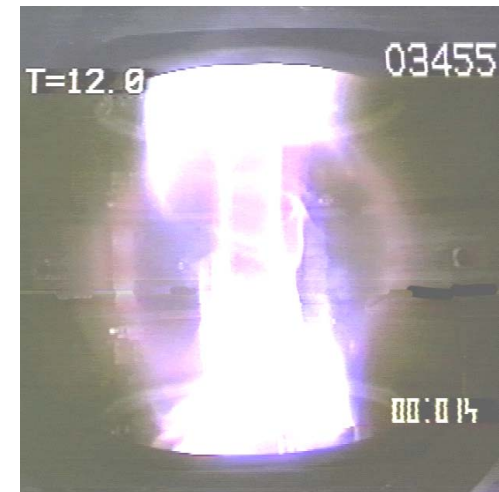
Plasma deformation



Energy flow

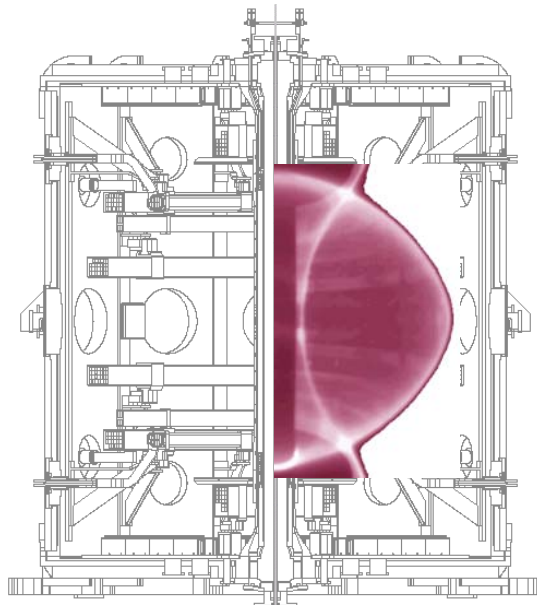


CCD picture, START



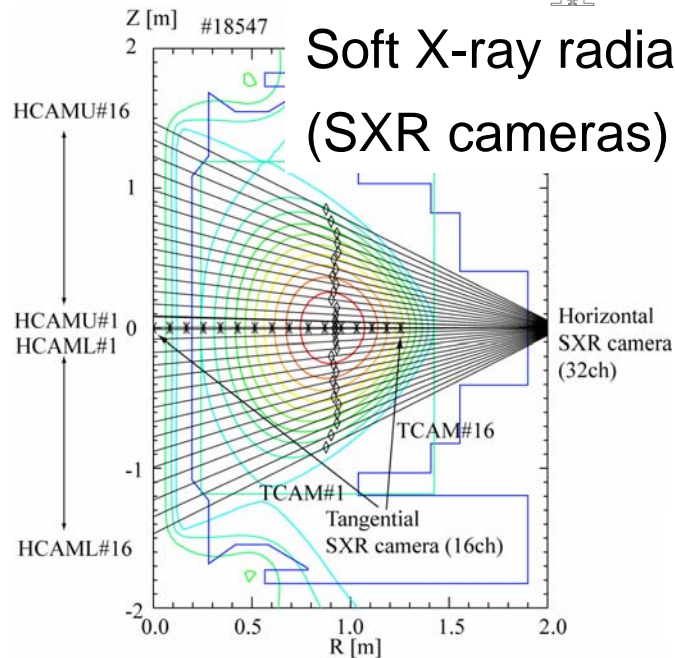
- ❑ Helical deformation, followed by reconnection, is caused by **linear and non-linear** growth and coupling of **pressure-driven** modes

# Mega Ampere Spherical Tokamak (MAST)

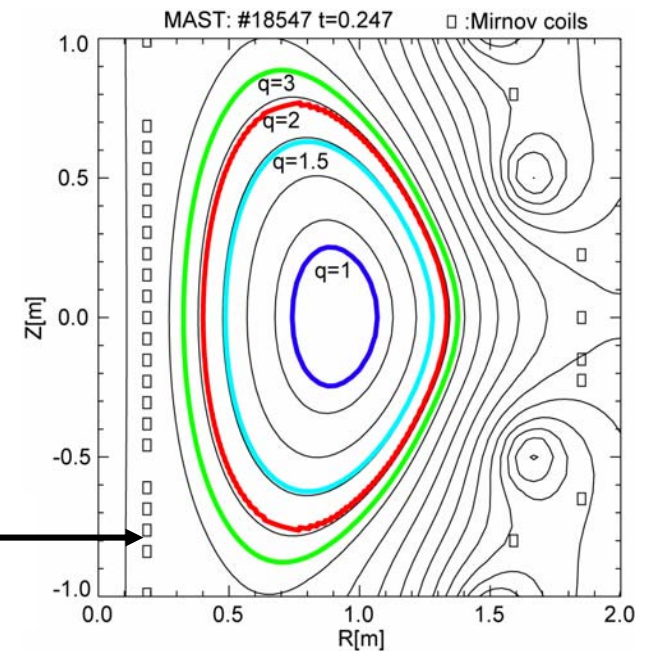


## MAST parameters

- ❑  $R_0$  (Major radius)  $\sim 0.85\text{m}$
- ❑  $a$  (Minor radius)  $\sim 0.65\text{m}$
- ❑  $A (=R_0/a) > 1.3$
- ❑  $I_p < 1.5\text{MA}$
- ❑ pulse length  $< 0.7\text{s}$
- ❑  $\beta_t$  (toroidal beta)  $< 17\%$



Position of the Mirnov coils at a poloidal section



# Objective of the IRE study

## **❑ To Isolate unique physics of IREs (in contrast to sawteeth, etc.)**

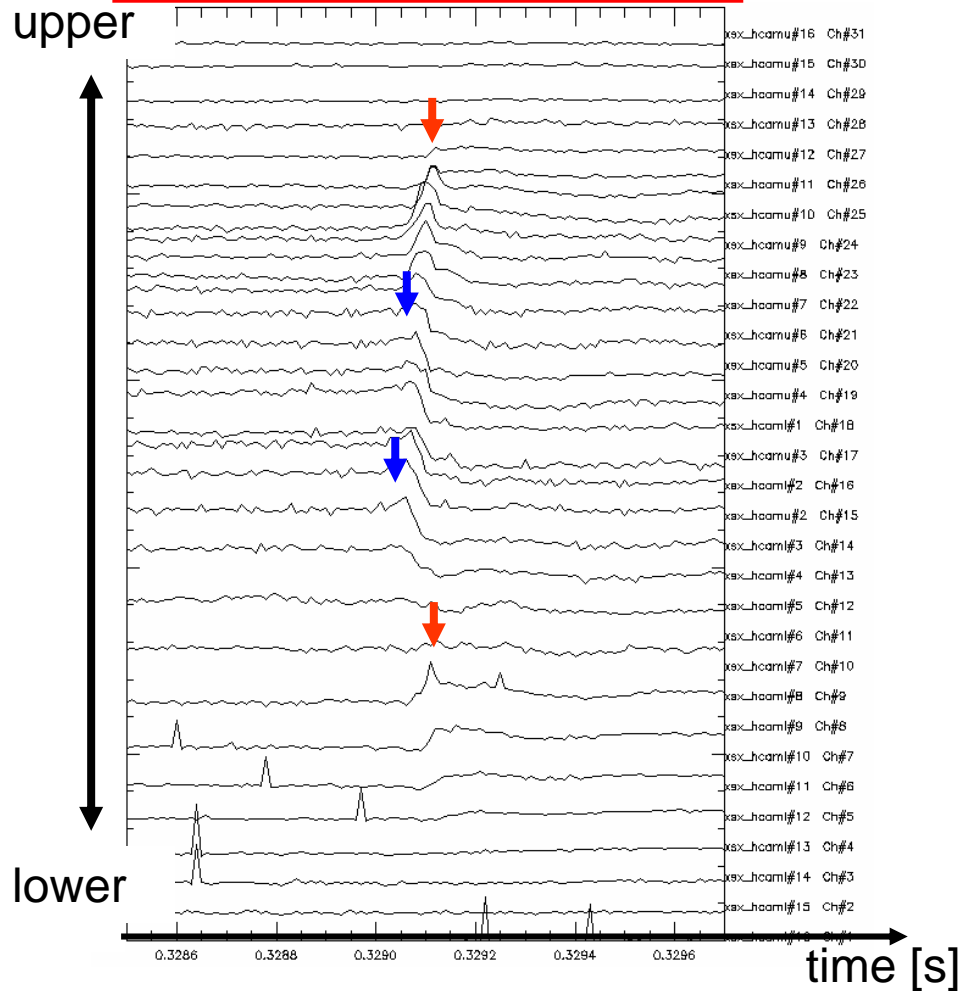
- ❑ SXR cameras and Mirnov coils are used to study mode structure

## **❑ To investigate the drive of this instability (is it pressure driven, as predicted by theory? or not)**

- ❑ Pressure profile evolution studies before the reconnection
- ❑ need to classify first sawtooth, mode coupling and energetic particle mode.

# Difference between sawtooth oscillation and IRE

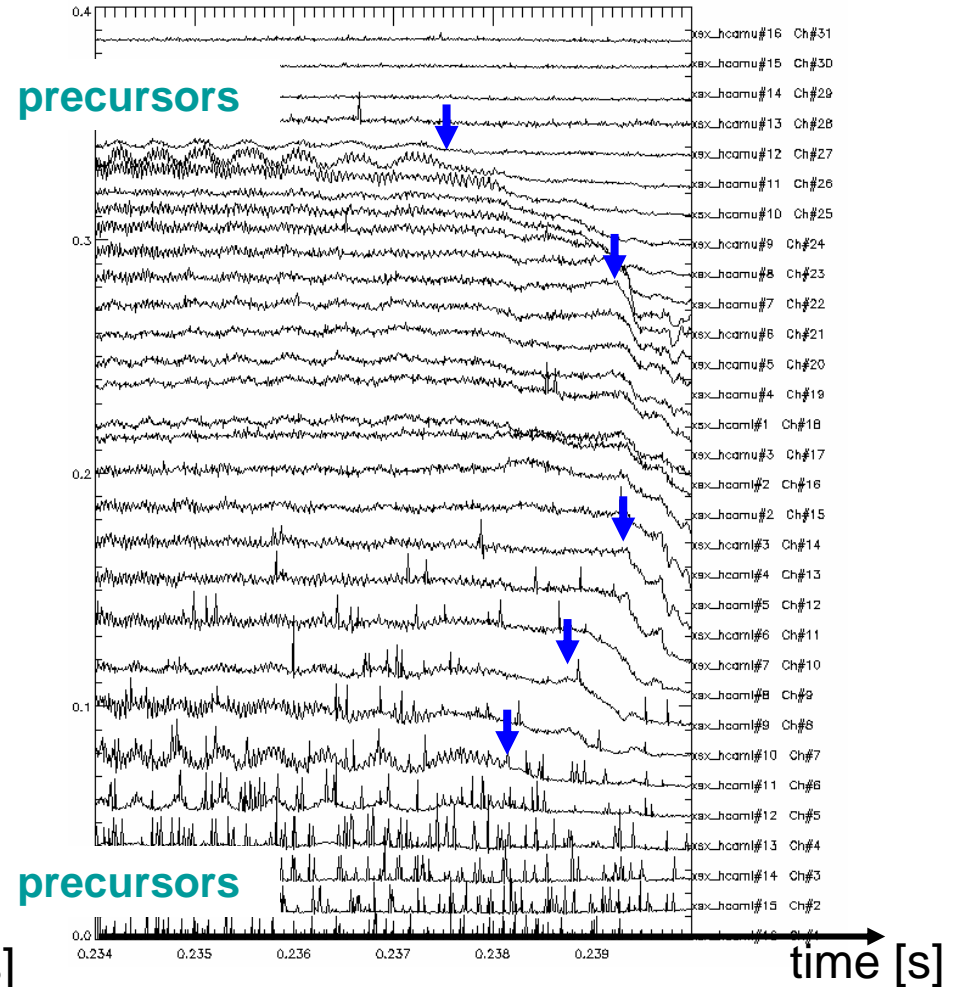
## Sawtooth oscillation



SXR profile: propagation of decrease from the core ( $q=1$ )

## IRE

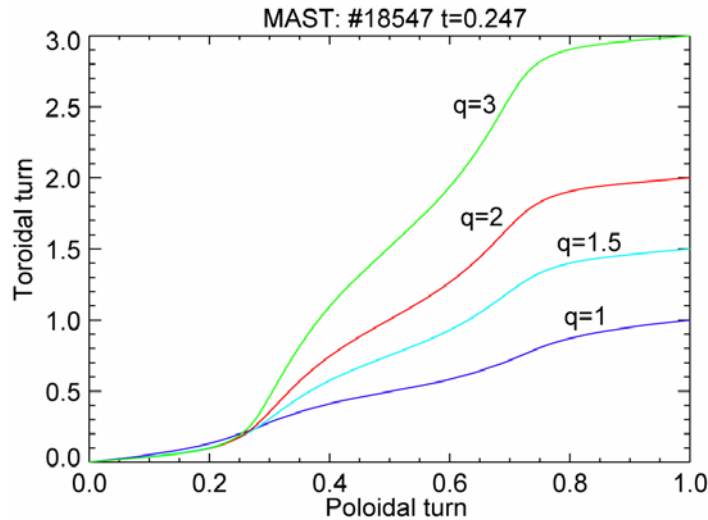
#18557



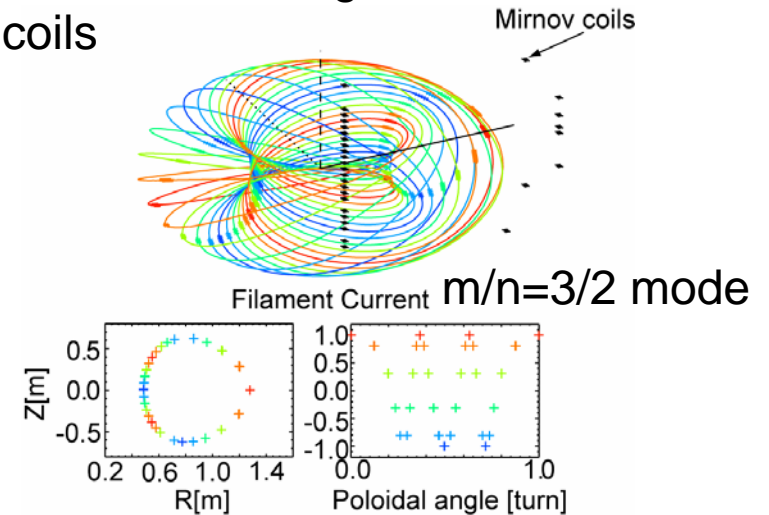
SXR profile: some precursors, propagation from the outside to the core

# Three dimensional poloidal mode analysis

Trajectories of magnetic lines at rational surfaces (EFIT)



Distributed filaments along the magnetic lines for calculation magnetic fields at Mirnov coils



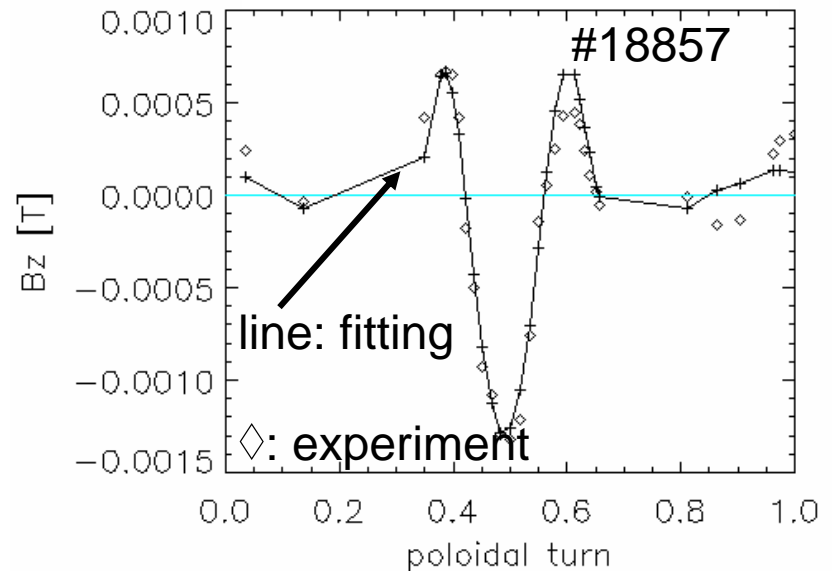
finding best fit for signals of Mirnov coils ( $B_z$ )

signals of  
Mirnov coils  
( $B_z$ )

Parameters:

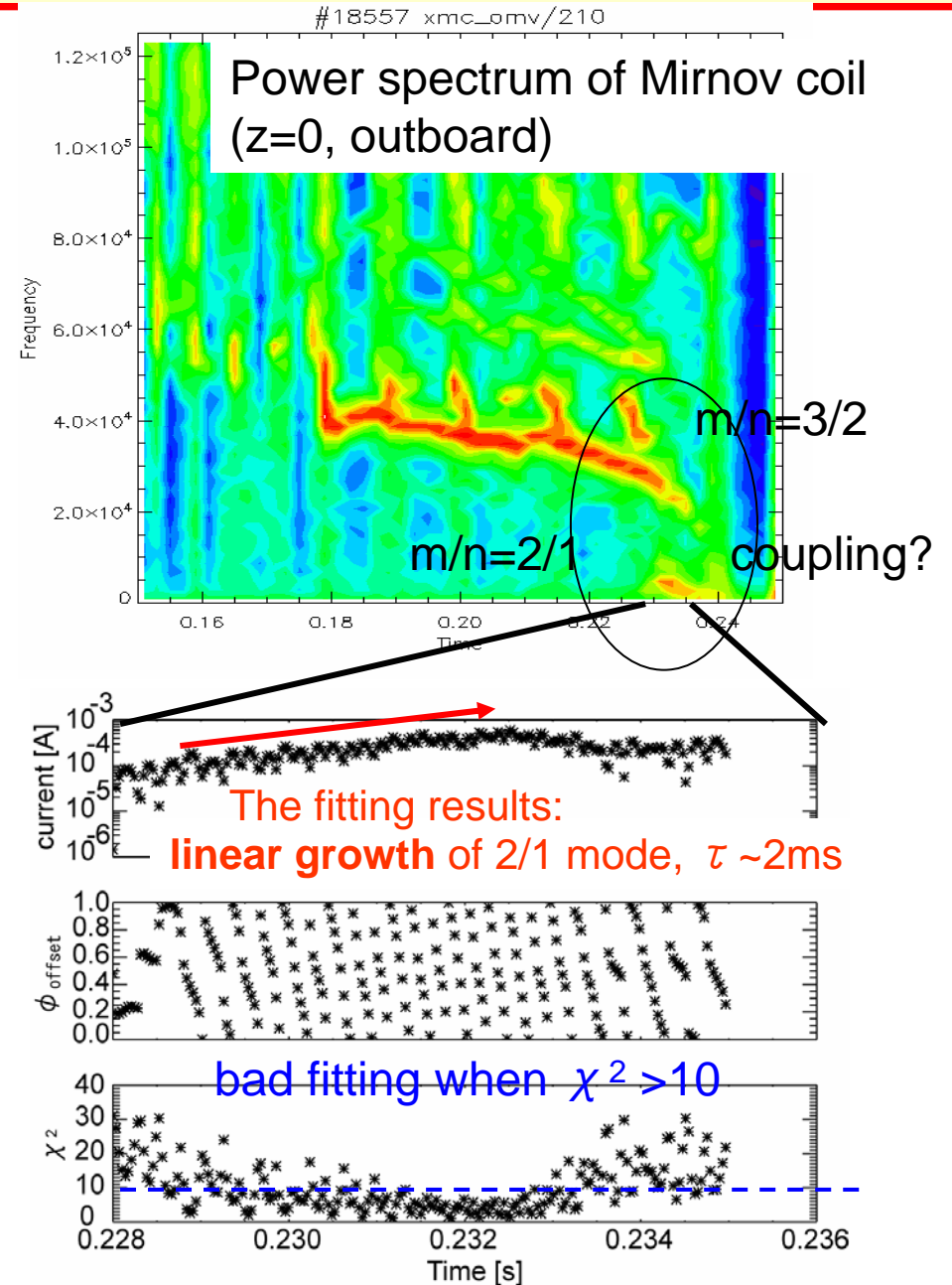
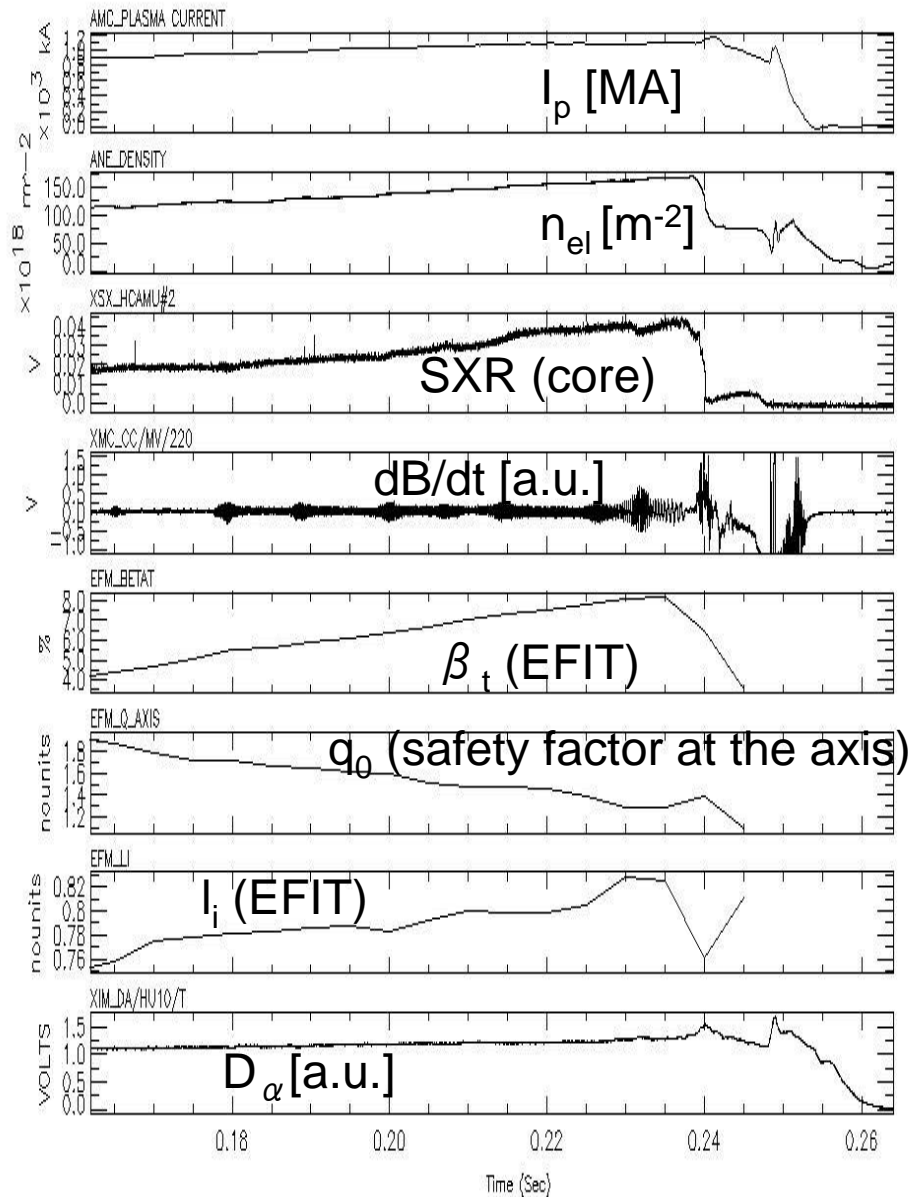
- Toroidal position of unique filaments ( $\phi_{\text{offset}}$ )
- Maximum current of filaments ( $I_{\text{fil}}$ )

2/1 mode, t=0.23215s



# Major IRE: time evolution of the precursors

Shot: 18557

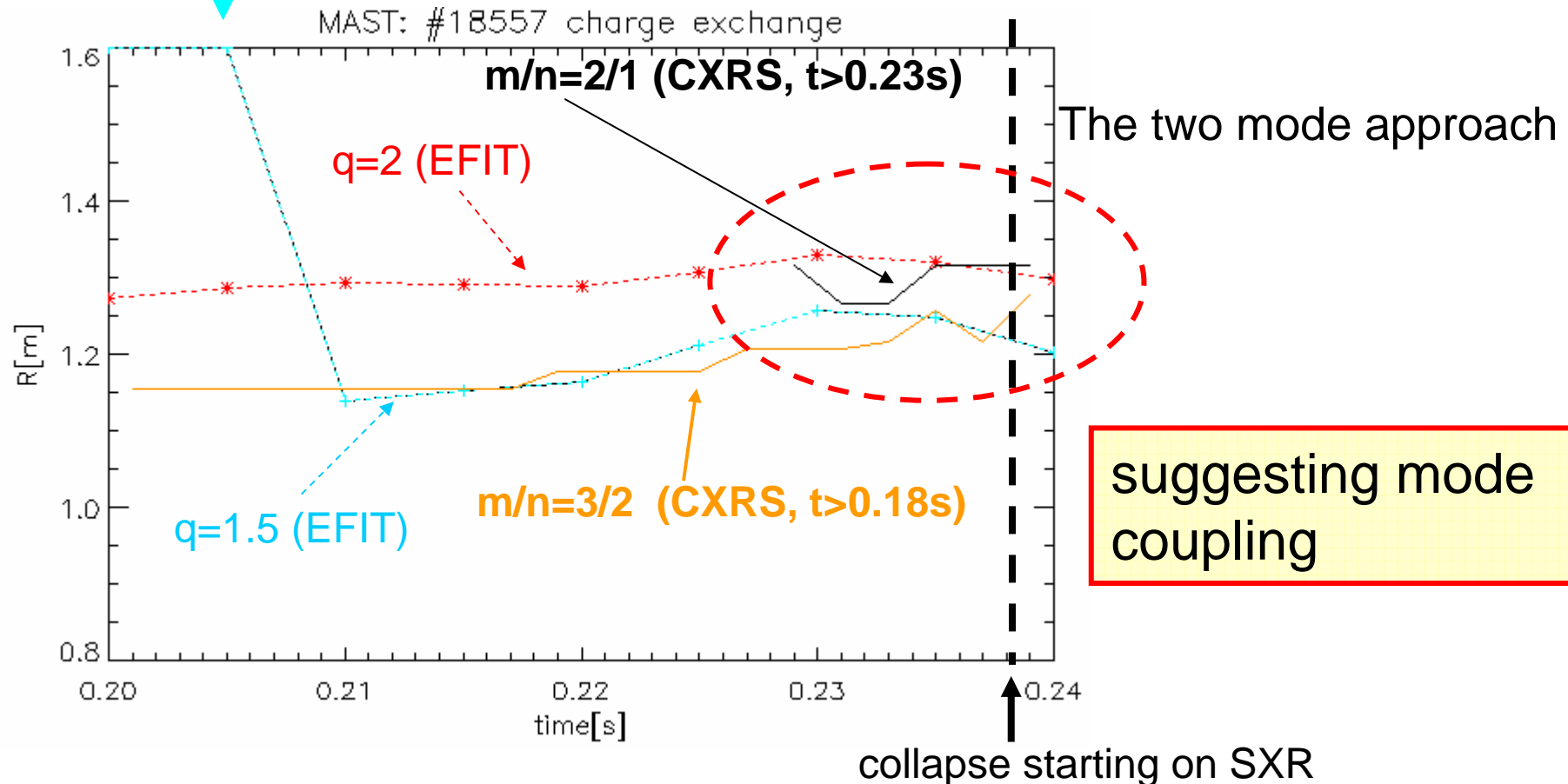


# mode positions from CXRS (preliminary results)

no  $q=1.5$  surface on the EFIT results

For the 2/1 and 3/2 modes, radial positions are calculated by toroidal speed and frequency of the signal of Mirnov coils

NOTE: ignoring poloidal rotation



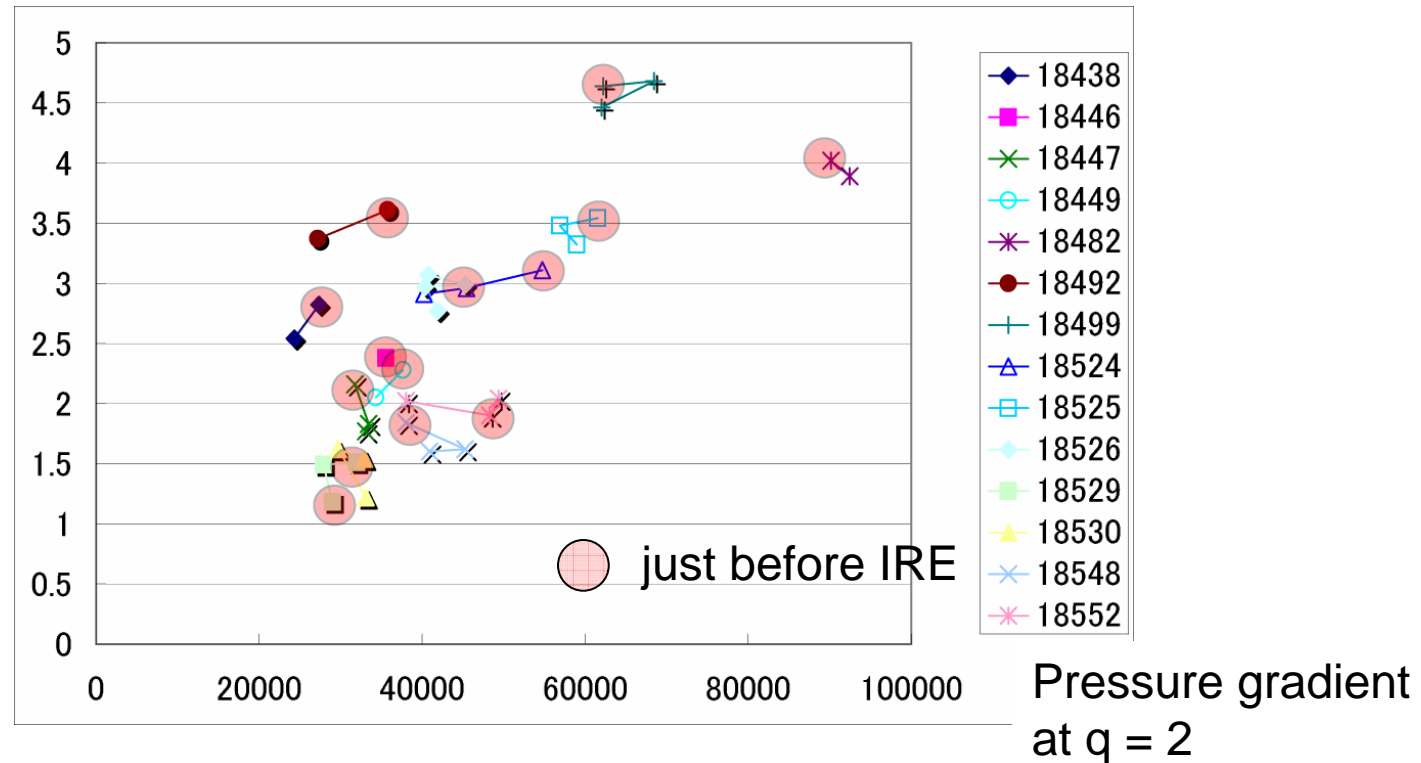
□ SXR profile also shows co-existence of 2/1 and 3/2 mode

# IRE drive: pressure-driven modes?

- Critical pressure gradient has been measured using kEFIT[1] in discharges

Magnetic shear

$$S = \frac{r}{q} \frac{dq}{dr}$$



**Critical pressure gradient at q = 2 increases with magnetic shear suggesting pressure-driven nature of IREs**

## Summary for IRE study

- Difference between IRE and sawtooth oscillation can be identified in the propagation of decrease on SXR profile.
  
- Comparison with the three dimensional MHD simulation
  - **linear growth**: 2/1 mode confirmed,  $\tau \sim 2\text{ms}$
  - **non-linear growth**: directly not confirmed, but close co-existence of 2/1 and 3/2 mode. (CXRS and SXR profile)
  
- Pressure profile evolution suggest stability effect of shear at  $q=2$

# Contents

□球状トマカクMASTにおける磁気再結合を伴う不安定性  
(Internal reconnection events: IRE)

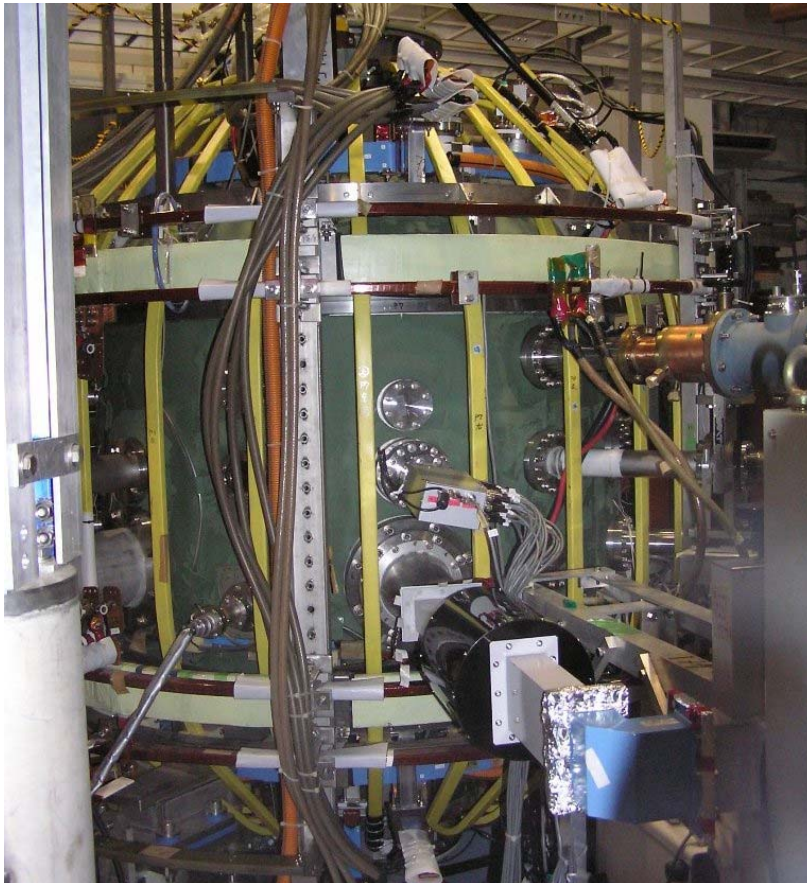
□ディスラプションを伴う IRE (Major IRE): モード解析

□圧力分布の時間発展

□球状トカマクTST-2における電子サイクロトロン波スタート  
アップ実験における放射強度分布解析

# 球状トカマクTST-2

通常放電 ECH startup



大半径	$R \sim 0.38 \text{ m}$	
小半径	$a \sim 0.25 \text{ m}$	
アスペクト比	$A \sim 1.5$	
トロイダル磁場	$B_t \sim 0.3 \text{ T}$	$\sim 0.1 \text{ T}$
プラズマ電流	$I_p \sim 120 \text{ kA}$	$\sim 1.5 \text{ kA}$
放電時間	$\Delta t \sim 20 \text{ ms}$	$\sim 100 \text{ ms}$

コンパクトな核融合炉である球状トカマクではCSを除去する必要がある。



電子サイクロトロン波による  
プラズマの生成と維持  
加熱装置: マグネトロン  
2.45 GHz, 5kW

# ECH start-up

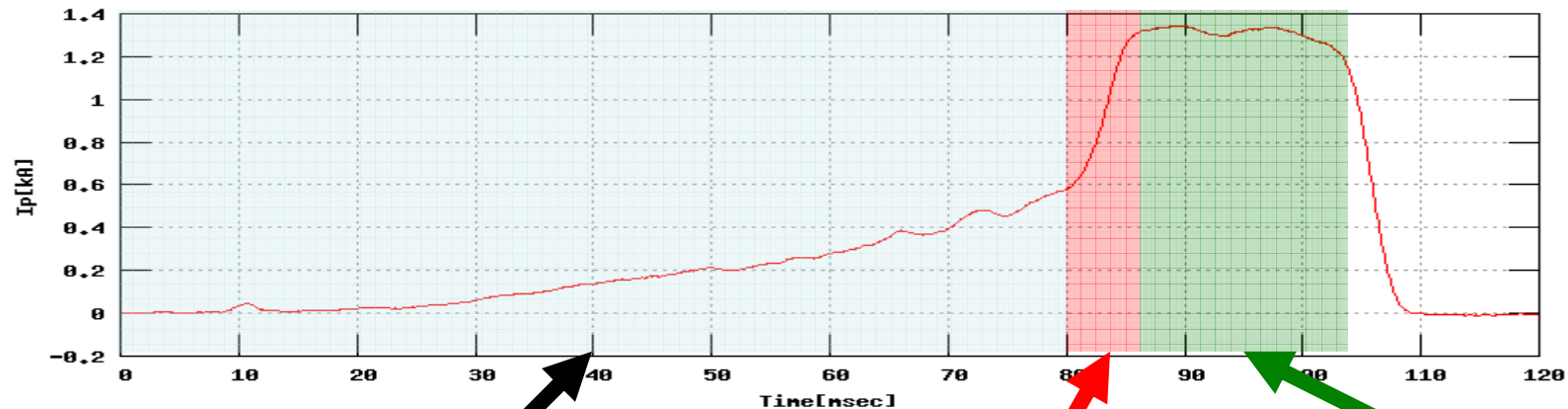
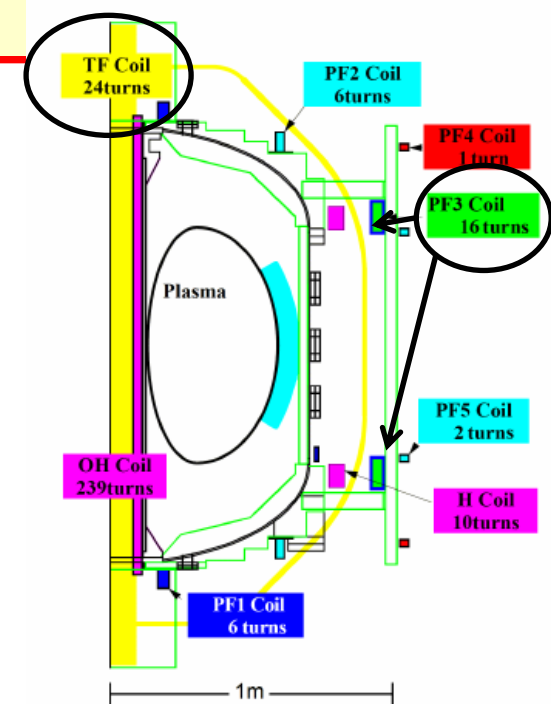
## □ 目的

プラズマのマクロな変形を画像から解析し、  
電流ジャンプを研究する。

## □ 実験条件

PF3を使用して立ち上げ

CCDカメラ 2000fps(可視光領域)

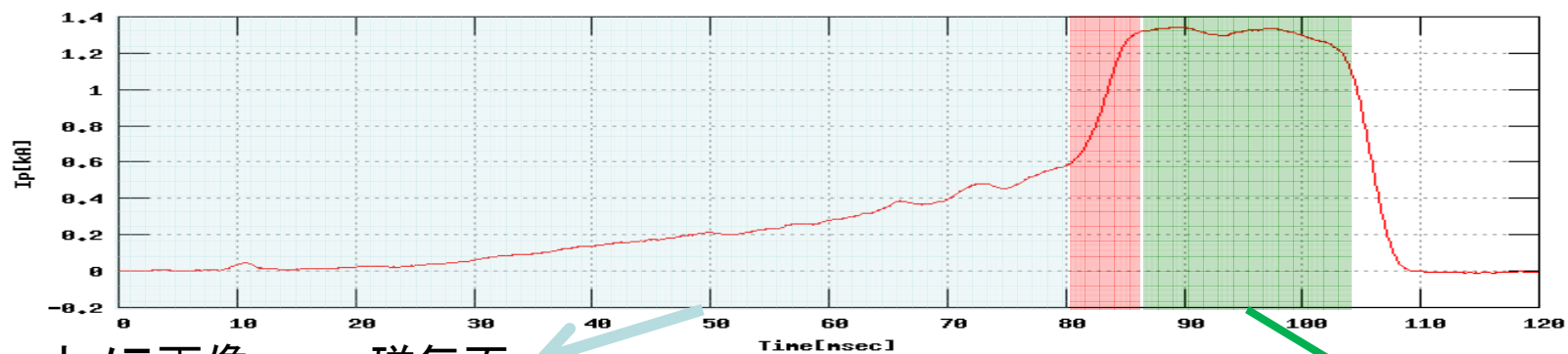


開いた磁気面

電流ジャンプ

閉じた磁気面

# 磁気面の様子

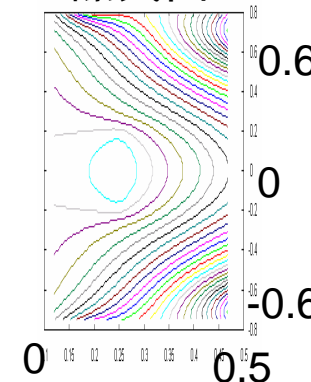
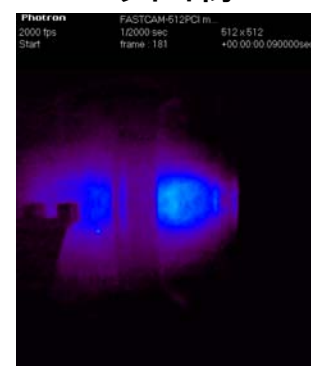
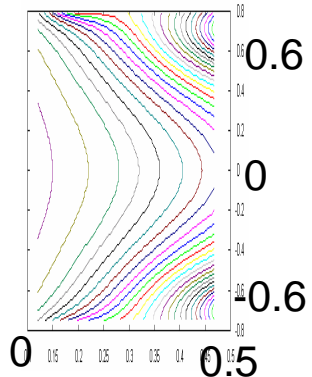
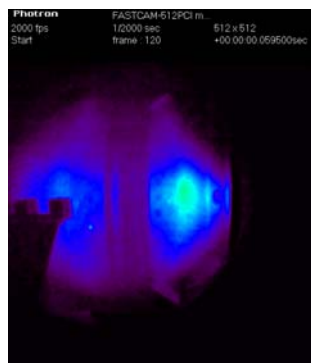


カメラ画像

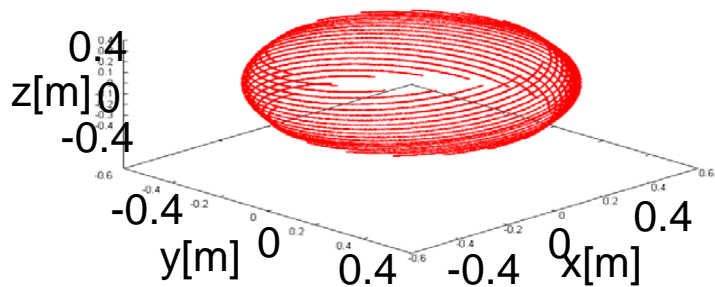
磁気面

カメラ画像

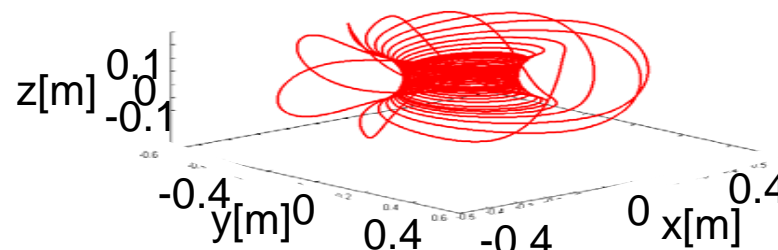
磁気面



捕捉電子の軌道

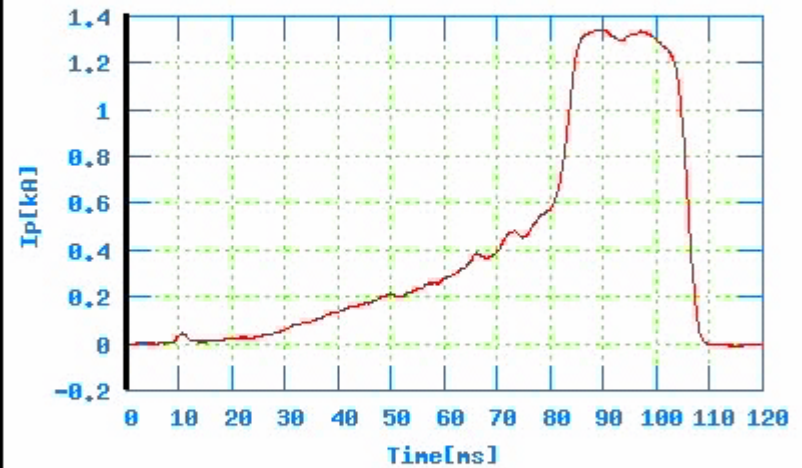


非捕捉電子の軌道

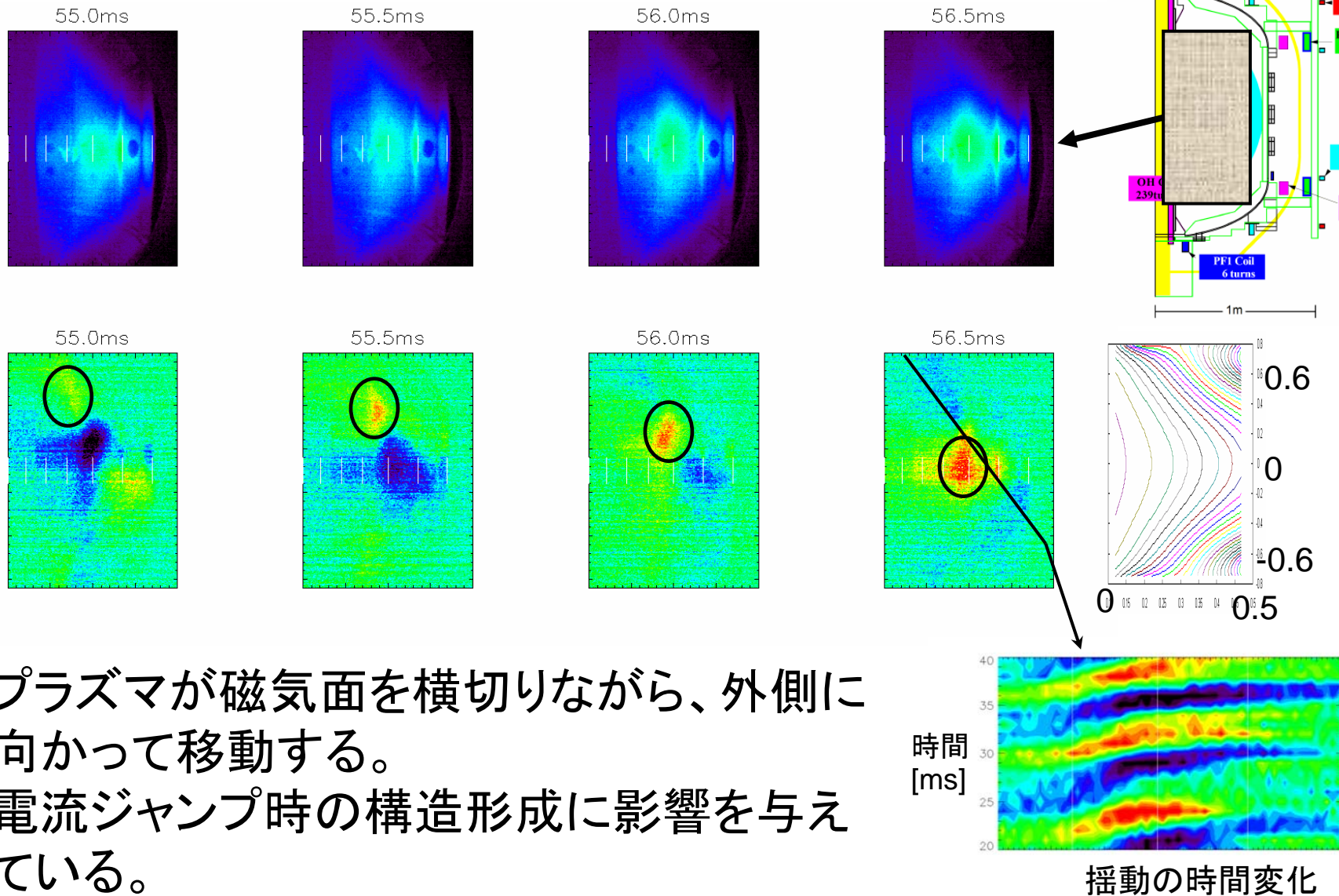


# カメラ画像

**Photron** FASTCAM-512PCI m...  
2000 fps 1/2000 sec 512 x 512  
Start frame : 1 +00:00:00.000000sec

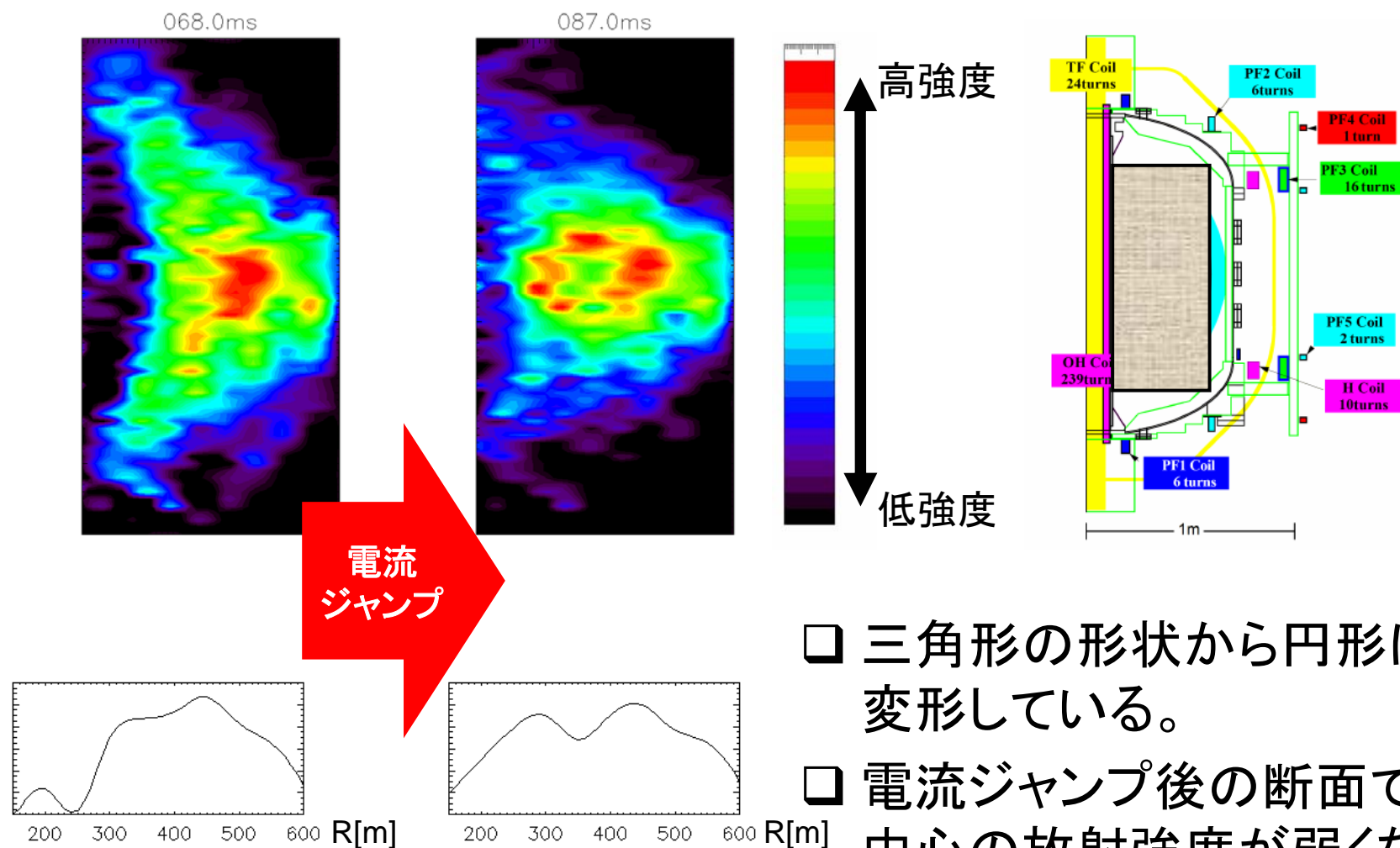


# 電流ジャンプ前の揺動



プラズマが磁気面を横切りながら、外側に向かって移動する。  
電流ジャンプ時の構造形成に影響を与えている。

# ポロイダル断面 (abel変換による像再生)



電流  
ジャンプ

赤道面の発光強度分布

- 三角形の形状から円形に変形している。
- 電流ジャンプ後の断面では中心の放射強度が弱くなっている。

# TST-2 における ECH start-up 実験のまとめ

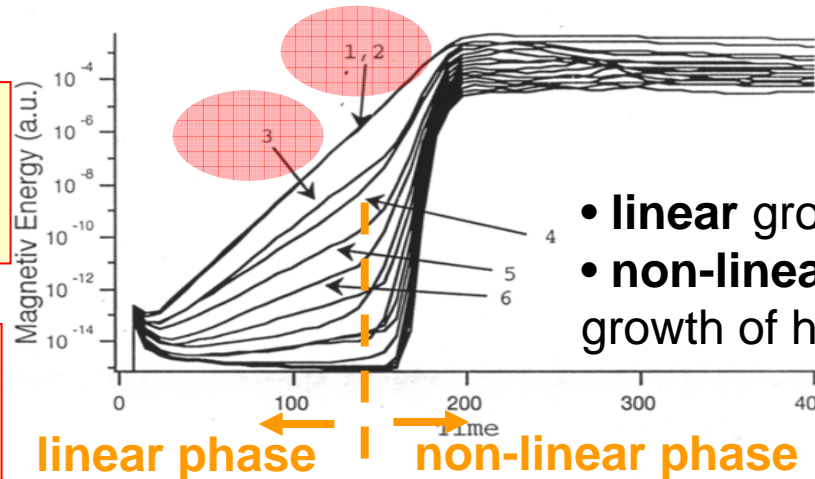
- 電流ジャンプ前後の画像を解析し、それぞれについて以下のことがわかった。
- 電流ジャンプ前
  - 磁気面が開き、プラズマの形状はアーク状の構造を伴う三角形の構造をしている。
  - プラズマの揺動が、磁気面の形成に深くかかわっている可能性がある。
- 電流ジャンプ後
  - 磁気面が閉じ、プラズマのポロイダル断面は円形に変化している。
  - 揺動がなく、安定している。

# Three different cases have been analyzed by Hayashi:

- **Three-dimensional resistive MHD simulations, 3 different cases:**

**Case 1:**

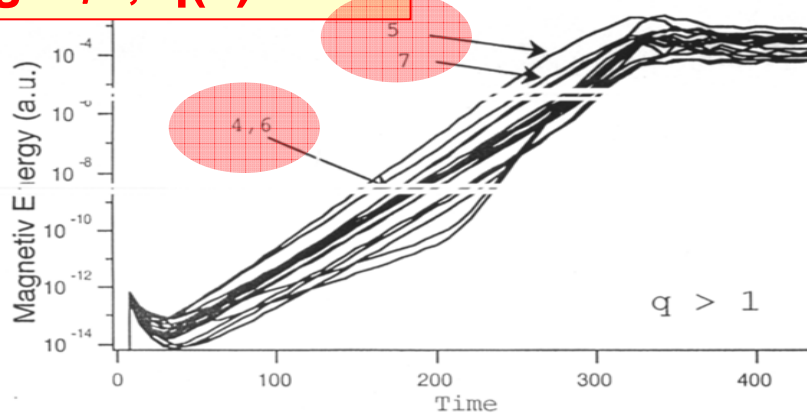
**high- $\beta$ ,  $q(0) < 1$**



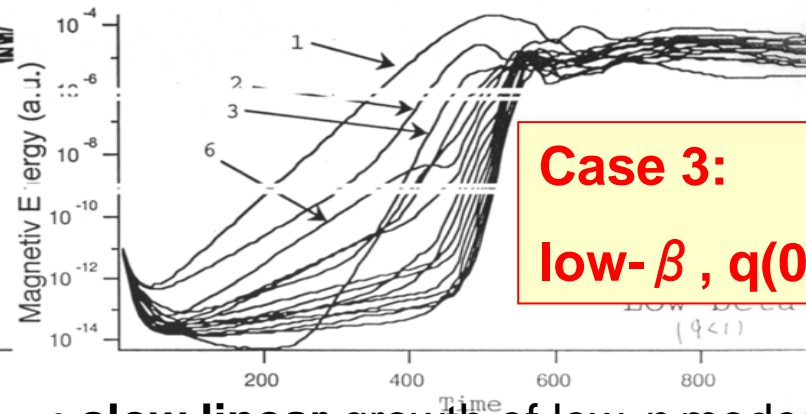
- **linear** growth of low- $n$  modes
- **non-linear** coupling and fast growth of high- $n$  modes

**Case 2:**

**high- $\beta$ ,  $q(0) > 1$**



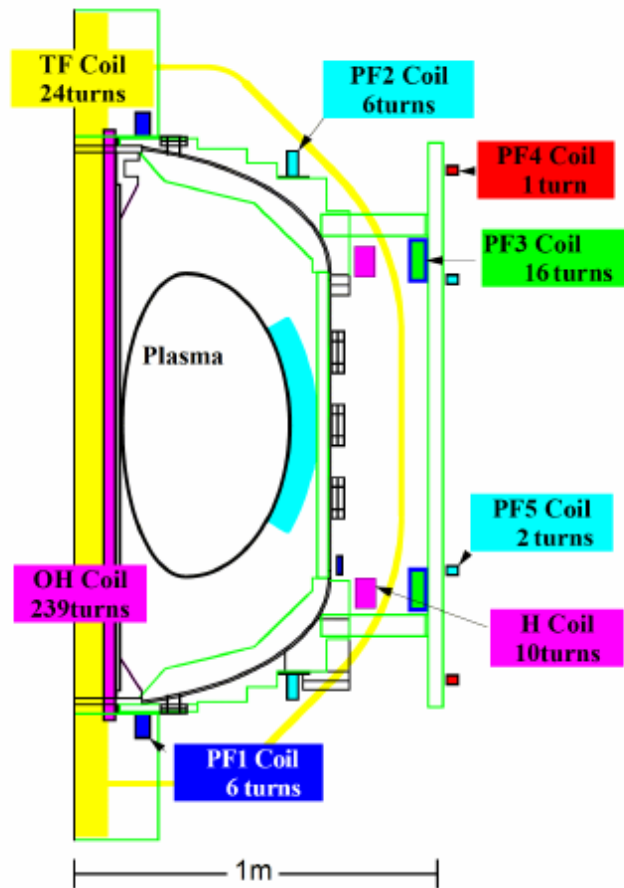
- **slow linear** growth of high- $n$  modes



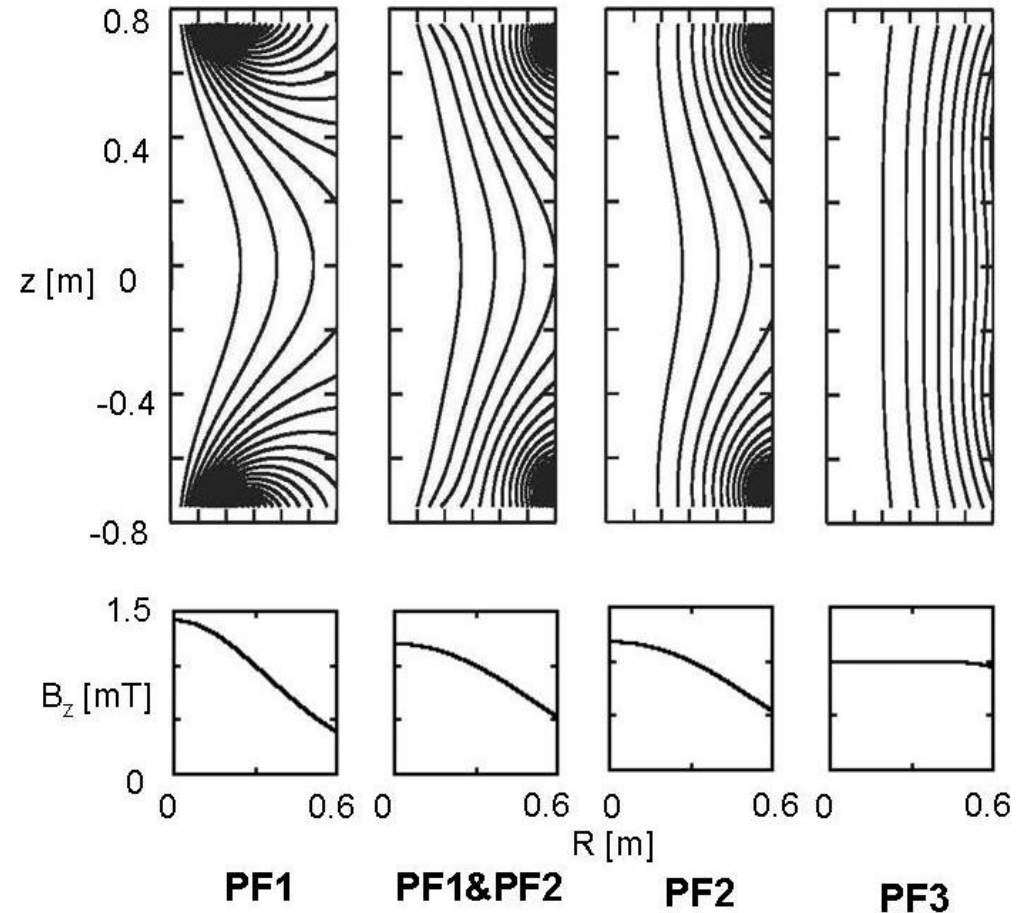
- **slow linear** growth of low- $n$  modes
- **non-linear** coupling and fast growth of high- $n$  modes

- **We compare these simulation with MAST experimental results**

# PFコイル磁場配位



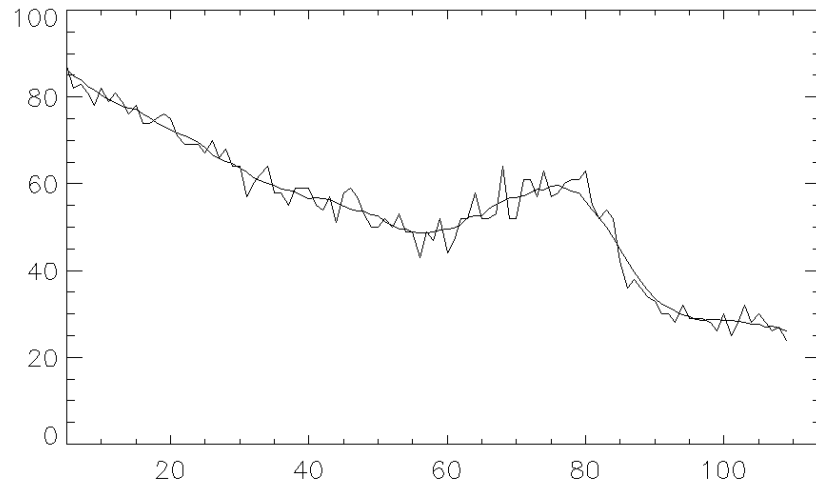
装置断面図



等ポロイダル磁束面  
(磁気面)

# 可視化のための構造物除去

## □ 発光強度の揺動の抽出方法



## □ ポロイダル断面図の構成方法

一定の範囲の最小値より  
代表点を抽出



Abel Inversion



Spline 補間